

Referências Bibliográficas

ALLEN, H. G.; BULSON, P. S. **Background to Buckling**, London, McGraw-Hill, 2001.

ALVES, R. V. “**Instabilidade Não-Linear Elástica de Estruturas Reticuladas Espaciais**”, Tese de Doutorado, COPPE, UFRJ, 1995.

BATHE, K. J. **Finite element procedures**, Prentice Hall, 1995.

BATOZ, J. L.; CHATTOPADHYAY, A.; GURBACHAN, D. “**Finite Element Large Deflection Analysis of Shallow Shells.**”, International Journal for Numerical Methods in Engineering, Vol. 10, No. 1, pp 39-58, 1976.

BAZANT, Z. P.; CEDOLIN, L. **Stability of Structures: Elastic, Inelastic, Fracture, and Damage Theories**. New York: Oxford University Press, 1991.

BAZANT, Z. P. “**Stability of Elastic, Anelastic, and Disintegrating Structures, and Finite Strain Effects: an Overview**”, Comprehensive Structural Integrity, Vol. 2, pp. 47-80, Elsevier, 2003

BRUSH, D. O.; ALMROTH, B. O. **Buckling of Bars, Plates, and Shells**. New York: McGraw-Hill, 1975.

CHAJES, A. “**Stability and Collapse Analysis of Axially Compressed Cylindrical Shells.**”, Shell Struct, Stab and Strength, pp. 1-17, 1985.

CHEN, W.; LIN, T. “**Dynamic Analysis of Viscoelastic Structures Using Incremental Finite Element Method**”, Eng. Struct., Vol. 4, No. 4, pp 271-276, 1982.

COOK, R. D; MALKUS, D. S. and PLESHA, M. E. **Concepts and Applications of Finite Element Analysis**, 3 ed., John Wiley & Sons, 1989.

CREUS, G. J., **Viscoelasticity: Basic Theory and Applications to Concrete Structures**. Lectures Notes in Engineering, 16, Springer-Verlag, 1986.

CREUS, G. J.; MARQUES, O. C. "Geometrically Nonlinear Finite Element Analysis of Viscoelastic Composite Materials Under Mechanical and Hygrothermal Loads", Computers & Structures, Vol. 53, No. 2, pp. 449-456, 1994.

CRISFIELD, A. M. **Non-linear Finite Element Analysis of Solids and Structures**, Vol. 1, John Wiley & Sons, 1991.

FEAPPV: **A Finite Element Analysis Program, Personal Version**. Disponível em: <<http://www.ce.berkeley.edu/~rlt/feappv>>.

FINDLEY, W. N.; LAI, J. S.; ONARAN, K. **Creep and Relaxation of Nonlinear Viscoelastic Materials**, North-Holland Publishing Company, 1976.

FLUGGE, W. **Viscoelasticity**, 2 ed. rev., Springer, 1975.

FREUDENTHAL, A. M. **The inelastic behavior of engineering materials and structures**, John Wiley & Sons, New York, 1950.

GALVÃO, A. S. "Formulações Não-Lineares de Elementos Finitos Para Análise de Sistemas Estruturais Metálicos Reticulados Planos", Dissertação de Mestrado, Universidade Federal de Ouro Preto, 2000.

HAMMERAND, D. C. "Geometrically-Linear and Nonlinear Analysis of Linear Viscoelastic Composites Using the Finite Element Method", Virginia Polytechnic Institute, 1999.

HILTON, H. H. "Creep collapse of viscoelastic columns with initial curvatures", J. Aero. Sci., 19:844-6, 1952.

HOFF, N. J. "Axially Symmetric Creep Buckling of Circular Cylindrical Shells in Axial Compression", J. Appl. Mech., Vol. 35, Series E, No. 3, pp. 530-538, 1968.

HONIKMAN, T. C., HOFF, N. J. "Effect of Variations in the Creep Exponent on the Buckling of Circular Cylindrical Shells", International Journal of Solids and Structures, Vol. 7, No. 12, pp. 1685-95, 1971.

HUGHES, T.J.R.; LIU, W.K.; LEVIT, I. "Nonlinear Dynamic Finite Element Analysis of Shells", in Nonlinear Finite Element Analysis in Structural Mechanics, ed. by Wunderlich, et al., Springer, Verlag, Berlin, pp. 151-168, 1981.

KEMPNER, J. “**Creep bending and buckling of non-linearly viscoelastic columns**”, N.A.C.A., Tehcnical Note 3137, 1954.

KEMPNER, J. & PHOLE, F. V. “**On the nonexistence of finite critical times for linear viscoelastic columns.**” J. Aero. Sci. 20, 572-573, 1953.

LARSEN, P. K.; POPOV, E. P. “**Large Displacement Analysis of Viscoelastic Shell of Revolution**”, Computer Methods in Applied Mechanics and Engineering, Vol. 3, No. 2, pp. 237-253, 1974.

LEE, S. L.; MANUEL, F. S.; ROSSOW, E. C. “**Large Deflections and Stability of Elastic Frames.**”, J. Engng. Mech. Div. ASCE, Vol. 94, (EM2), pp.521-547, 1968.

LIBOVE, C. “**Creep buckling of columns**” J. Aero. Sci. 19(7), pp. 459-467, 1952.

LIN, T. H. “**Creep stress and deflections of columns**”, J. Appl. Mech., 215-218, 1956.

MATSUI, T.; MATSUOKA, O. “**A New Finite Element Scheme for Instability Analysis of Thin Shells**”, International Journal for Numerical Methods in Engineering, Vol. 10, No. 1, pp. 145-170, 1976.

OBRECHT, H. “**Creep Buckling and Postbuckling of Circular Cylindrical Shells Under Axial Compression**”, International Journal of Solids and Structures, Vol. 13, No. 4, 1977, pp. 337-355, 1977.

ODQVIST, F.K.G. **Mathematical Theory of Creep and Creep Rupture**, 2 ed, Oxford University Press, 1974.

OLIVEIRA, A. H. S.; SILVA, R. R. “**Avaliação de cargas críticas de estruturas planas e axissimetricas sujeitas a dano e fissuração**”, Dissertação de Mestrado, PUC-Rio, 1990.

PLAVNIK, N.; BARGMANN, H., W. “**Snap-through-type Nonlinear Creep Buckling of a Shallow Sinusoidal Shell**”, Transactions, SMiRT 16, Washington DC, 2001.

RABOTNOV, Y. N. **Creep Problems in Structural Members**, North Holland Publishing Company – Amsterdam, 1969.

ROSENTHAL, D., & BAER, H. W. “**An elementary theory of creep buckling of columns**”, Proc. 1st U.S. Nat. Congr. Appl. Mech., pp. 603-11, 1951.

TIMOSHENKO, S. P.; GERE, J. M. **Theory of Elastic Stability**. New York: McGraw-Hill, 1960.

WASZCZYSZYN, Z.; CICHON, C.; RADWANSKA, M. **Stability of Structures by Finite Element Method**, Studies in Applied Mechanics, 40, Elsevier, 1994.

WILLIAMS, F. W. “**An Approach to the Non-Linear Behaviour of the Members of a Rigid Jointed Plane Framework With Finite Deflection.**”, Quart. J. Mech. Appl. Maths., Vol. 17, No. 4, pp. 451-469, 1964.

WOOD, R. D.; SCHREFLER, B. “**Geometrically Non-linear Analysis - A Correlation of Finite Element Notations**”, International Journal for Numerical Methods in Engineering, Vol. 12, No. 4, pp. 635-642, 1978.

WOOD, R. D.; ZIENKIEWICZ, O. C. “**Geometrically Non-linear Finite Element Analysis of Beams, Frames, Arches and Axisymmetric Shells**”, Computers & Structures, Vol. 7, No. 6, pp. 725-735, 1977.

ZIENKIEWICZ, O. C.; WATSON, M.; KING, I. P. “**A Numerical Method of Viscoelastic Stress Analysis**”, Int. J. Mech. Sci., Vol. 10, pp. 807-827, 1968.

Anexo A

Definição da Matriz tangente e do Vetor de Forças Incrementais de um Elemento de Treliça

O elemento de treliça da Fig. A.1 possui as seguintes funções de interpolação:

$$h_1 = 1 - \frac{\xi}{L} \quad (\text{A.1})$$

$$h_2 = \frac{\xi}{L} \quad (\text{A.2})$$

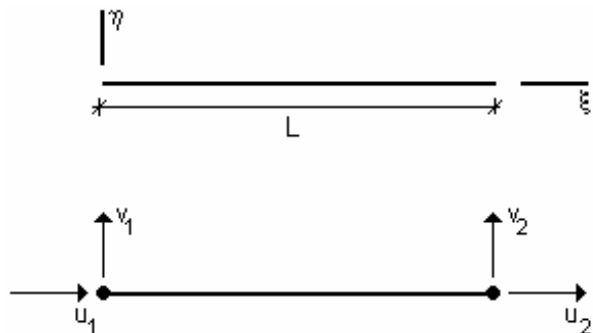


Figura A.1 – Elemento de treliça.

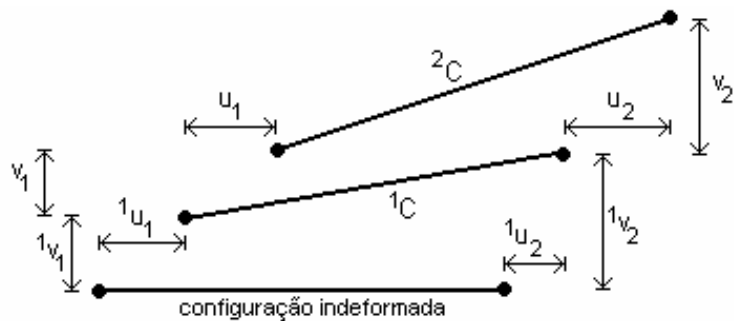


Figura A.2 – Deslocamentos de referência e deslocamentos incrementais.

Conforme mostrado na Fig. A.2, na configuração de referência representada 1C , o vetor de deslocamentos totais conhecidos é dado por

$${}^1\mathbf{d} = \begin{bmatrix} {}^1u_1 & {}^1v_1 & {}^1u_2 & {}^1v_2 \end{bmatrix}^T, \quad (\text{A.3})$$

e o vetor de deslocamentos incrementais, obtido a partir de 1C , é dado por

$$\mathbf{d} = [u_1 \quad v_1 \quad u_2 \quad v_2]^T. \quad (\text{A.4})$$

Ainda na configuração 1C , a tensão atuante ${}^1\sigma$ dá origem a uma força axial 1N definida como

$${}^1N = \frac{{}^1\sigma}{A}, \quad (\text{A.5})$$

onde A é a área da seção transversal do elemento.

A matriz B_0 é dada por

$$B_0 = \begin{bmatrix} -\frac{1}{L} & 0 & \frac{1}{L} & 0 \end{bmatrix}. \quad (\text{A.6})$$

A matriz B_L depende do vetor 1d , definido em (A.3), e das matrizes H_1 e G , cujas componentes são

$$H_1 = \begin{bmatrix} 1 & 0 \\ 0 & 1 \end{bmatrix}, \quad (\text{A.7})$$

$$G = \begin{bmatrix} -\frac{1}{L} & 0 & \frac{1}{L} & 0 \\ 0 & -\frac{1}{L} & 0 & \frac{1}{L} \end{bmatrix}. \quad (\text{A.8})$$

Dessa forma,

$$B_L = \frac{1}{L^2} \begin{bmatrix} -{}^1u_2 + {}^1u_1 & -{}^1v_2 + {}^1v_1 & {}^1u_2 - {}^1u_1 & {}^1v_2 - {}^1v_1 \end{bmatrix}. \quad (\text{A.9})$$

A matriz 1S , utilizada na montagem da matriz de rigidez geométrica, é dada por

$${}^1S = \begin{bmatrix} {}^1\sigma & 0 \\ 0 & {}^1\sigma \end{bmatrix} = \begin{bmatrix} \frac{{}^1N}{A} & 0 \\ 0 & \frac{{}^1N}{A} \end{bmatrix}. \quad (A.10)$$

As componentes da matriz de rigidez tangente e do vetor de forças incrementais são obtidas através das seguintes integrais:

$$K_0 = EA \int_0^L (B_1^T B_1) d\xi, \quad (A.11)$$

$$K_1 = EA \int_0^L (B_1^T C B_2 + B_2^T C B_1) d\xi, \quad (A.12)$$

$$K_2 = EA \int_0^L (B_2^T C B_2) d\xi, \quad (A.13)$$

$$K_\sigma = A \int_0^L G^T {}^1S G d\xi = A \int_0^L G^T \frac{{}^1N}{A} G d\xi = {}^1N \int_0^L G^T G d\xi, \quad (A.14)$$

$${}^1F_{int} = A \int_0^L (B_1 + B_2)^T \frac{{}^1N}{A} d\xi = {}^1N \int_0^L (B_1 + B_2)^T d\xi, \quad (A.15)$$

$$F^{ve} = EA \varepsilon^{ve} \int_0^L (B_1 + B_2)^T d\xi, \quad (A.17)$$

onde E representa o módulo elástico e A representa a área da seção transversal, admitidos como constantes ao longo do elemento.

Os conjuntos definidos são agora utilizados no Anexo B, onde o esquema computacional abordado no Cap. 3 é ilustrado.

Anexo B

Algoritmo Computacional Baseado no Elemento de Treliça

A seguir, com o auxílio do programa Mathcad, o esquema computacional abordado no Cap. 3 é ilustrado através do elemento de treliça definido no Anexo A. As variáveis utilizadas são:

- T: matriz de rotação (Fig. B.1.)
- d_1: vetor de deslocamentos totais na configuração 1C no sistema local,

$$d_1 = [u_1 \quad v_1 \quad u_2 \quad v_2].$$

- D_1: vetor de deslocamentos totais na configuração 1C no sistema global.
- d: vetor de deslocamentos incrementais no sistema local.
- D: vetor de deslocamentos incrementais no sistema global.
- σ_1 : tensão atuante ao longo da barra na configuração 1C .
- N_1: força axial atuante ao longo da barra na configuração 1C ,

$$^1N \equiv N_1 = \frac{\sigma_1}{A}.$$

- Fint_1: vetor de forças internas na configuração 1C no sistema local.
- FGint_1: vetor de forças internas na configuração 1C no sistema global.
- ε_a : incremento na deformação.
- $\Delta\sigma$: incremento de tensão.
- ε_{c1} : deformação por fluência total na configuração 1C .
- ε_{ve} : incremento na deformação por fluência.
- $\Delta F = F_2 - FGint_1$: vetor de forças incrementais para o problema elástico, no sistema global.
- $\Delta F = F_2 - FGint_1 + FG_{ve}$: vetor de forças incrementais para o problema viscoelástico, no sistema global.
- KGT: matriz de rigidez tangente no sistema global.

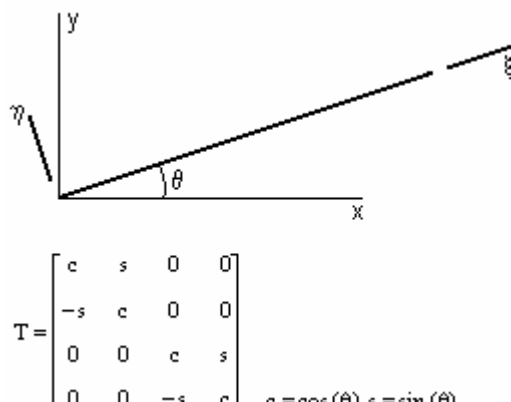


Figura B.1. – Matriz de rotação do elemento de treliça.

Os modelos das barras elástica e viscoelástica encontram-se nas Figs. B.2 e B.3, respectivamente. Os dados de entrada e o algoritmo utilizados na determinação do caminho de equilíbrio da barra elástica da Fig. B.2 estão mostrados nas Figs. B.4 e B.6, respectivamente. Os dados de entrada para a barra viscoelástica da Fig. B.3 estão mostrados na Fig. B.5. O algoritmo de solução está dividido em duas partes: a primeira (Fig. B.7) serve para determinar a configuração de equilíbrio inicial proveniente da carga P_0 aplicada no instante $t = 0$; a segunda (Fig. B.8) utiliza essa solução inicial para solucionar o problema viscoelástico.

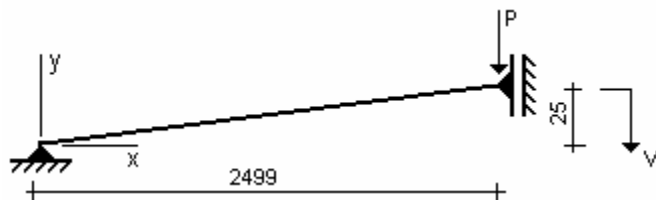


Figura B.2. – Exemplo da barra elástica.

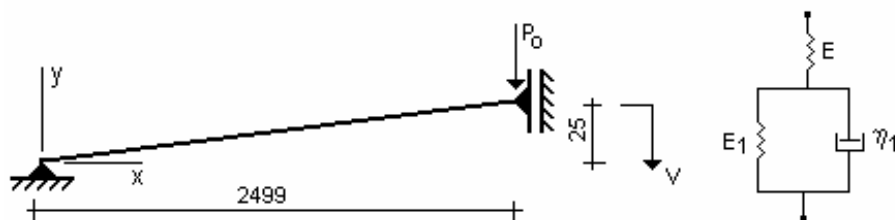


Figura B.3. – Exemplo da barra viscoelástica.

<u>coordenadas nodais :</u>
$x := (0 \ 2499)^T \quad y := (0 \ 25)^T$
<u>matriz de rotação :</u>
$L := \sqrt{(x_2 - x_1)^2 + (y_2 - y_1)^2} \quad c := \frac{(x_2 - x_1)}{L} \quad s := \frac{(y_2 - y_1)}{L} \quad T := \begin{pmatrix} c & s & 0 & 0 \\ -s & c & 0 & 0 \\ 0 & 0 & c & s \\ 0 & 0 & -s & c \end{pmatrix}$
<u>material</u>
$E := 5 \cdot 10^7 \quad A := 1.0$
<u>carga de referência</u>
$P := -0.01$
<u>configuração indeformada</u>
deslocamento: $D_{-1} = (0 \ 0 \ 0 \ 0)^T$ tensão: $\sigma_{-1} = 0.0 \quad N_{-1} = \frac{\sigma_{-1}}{A}$ fator de carga: $\lambda = 0.0$
<u>controle do processo de solução</u>
variação do parâmetro de carga: $\Delta\lambda := 1.0$ fator de rigidez: $f_k := 1.0$ número de incrementos: $n_{inc} := 5000$

Figura B.4. – Dados utilizados para determinar o caminho de equilíbrio da barra elástica.

<u>coordenadas nodais</u>
$x := (0 \ 2499)^T \quad y := (0 \ 25)^T$
<u>matriz de rotação</u>
$L := \sqrt{(x_2 - x_1)^2 + (y_2 - y_1)^2} \quad c := \frac{(x_2 - x_1)}{L} \quad s := \frac{(y_2 - y_1)}{L} \quad T := \begin{pmatrix} c & s & 0 & 0 \\ -s & c & 0 & 0 \\ 0 & 0 & c & s \\ 0 & 0 & -s & c \end{pmatrix}$
<u>material</u>
$E := 5 \cdot 10^7 \quad$ módulo elástico $E_1 := 5 \cdot 10^7 \quad \eta_1 := 5 \cdot 10^8 \quad$ propriedades viscoelásticas $A := 1.0 \quad$ área da seção transversal
<u>carga de referência</u>
$P := -0.01$
<u>configuração indeformada</u>
deslocamento: $D_{-1} = (0 \ 0 \ 0 \ 0)^T$ tensão: $\sigma_{-1} = 0.0 \quad N_{-1} = \frac{\sigma_{-1}}{A}$ fator de carga: $\lambda = 0.0$
<u>controle do processo de solução</u>
- caminho de equilíbrio: variação do parâmetro de carga: $\Delta\lambda := 1.0$ fator de rigidez: $f_k := 1.0$ número de incrementos de carga: n_{inc}
- deslocamento x tempo: número de incrementos de tempo: n_{ts} intervalo de tempo: $\Delta t := 0.01$

Figura B.5. – Dados utilizados para a solução da barra viscoelástica.

```

caminho := D_1 <- (0 0 0 0)^T
λ <- 0.0
σ_1 <- 0.0
N_1 <- σ_1 / A
for ic ∈ 1.. ninc
    d_1 <- T · D_1
    u1 <- d_1_1
    v1 <- d_1_2
    u2 <- d_1_3
    v2 <- d_1_4
    KG0 <- E · A · T ·  $\begin{pmatrix} 1 & 0 & -1 & 0 \\ 0 & 0 & 0 & 0 \\ -1 & 0 & 1 & 0 \\ 0 & 0 & 0 & 0 \end{pmatrix}$  · T
    KG1 <-  $\frac{E \cdot A}{L^2} \cdot T \cdot \begin{pmatrix} 2 \cdot (u2 - u1) & (v2 - v1) & 2 \cdot (-u2 + u1) & (-v2 + v1) \\ (v2 - v1) & 0 & (-v2 + v1) & 0 \\ 2 \cdot (-u2 + u1) & (-v2 + v1) & 2 \cdot (u2 - u1) & (v2 - v1) \\ (-v2 + v1) & 0 & (v2 - v1) & 0 \end{pmatrix}$  · T
    KG2 <-  $\frac{E \cdot A}{L^3} \cdot T \cdot \begin{pmatrix} (-u2 + u1)^2 & (-u2 + u1) \cdot (-v2 + v1) & -(-u2 + u1)^2 & (-u2 + u1) \cdot (v2 - v1) \\ (-u2 + u1) \cdot (-v2 + v1) & (-v2 + v1)^2 & (u2 - u1) \cdot (-v2 + v1) & -(-v2 + v1)^2 \\ -(-u2 + u1)^2 & (u2 - u1) \cdot (-v2 + v1) & (-u2 + u1)^2 & (u2 - u1) \cdot (v2 - v1) \\ (-u2 + u1) \cdot (v2 - v1) & -(-v2 + v1)^2 & (u2 - u1) \cdot (v2 - v1) & (-v2 + v1)^2 \end{pmatrix}$  · T
    KGσ <- N_1 / L ·  $\begin{pmatrix} 1 & 0 & -1 & 0 \\ 0 & 1 & 0 & -1 \\ -1 & 0 & 1 & 0 \\ 0 & -1 & 0 & 1 \end{pmatrix}$ 
    KGT <- KG0_4, 4 + KG1_4, 4 + KG2_4, 4 + KGσ_4, 4
    Fint_1 <- N_1 ·  $\left[ -1 + \frac{(-u2 + u1)}{L} \quad \frac{-v2 + v1}{L} \quad 1 + \frac{(u2 - u1)}{L} \quad \frac{(v2 - v1)}{L} \right]^T$ 
    FGint_1 <- T^T · Fint_1
    fk <- 1.0 if  $\frac{KGT}{1.0} > 0$ 
    fk <- -1.0 if  $\frac{KGT}{1.0} < 0$ 
    λ <- λ + Δλ · fk
    F_2 <- λ · P
    ΔF <- F_2 - FGint_1_4
    V <-  $\frac{\Delta F}{KGT}$ 
    D <- (0 0 0 V)^T
    d <- T · D
    B1 <-  $\left( \frac{-1}{L} \quad 0 \quad \frac{1}{L} \quad 0 \right)$ 
    B2 <-  $\left( \frac{-u2 + u1}{L^2} \quad \frac{-v2 + v1}{L^2} \quad \frac{u2 - u1}{L^2} \quad \frac{v2 - v1}{L^2} \right)$ 
    εa <- (B1 + B2) · d
    Δσ <- E · εa_1
    σ_1 <- σ_1 + Δσ
    N_1 <- σ_1 / A
    D_1 <- D_1 + D
    carga_deslocamento_ic, 1 <- λ
    carga_deslocamento_ic, 2 <- D_1_4
    carga_deslocamento

```

Figura B.6. – Esquema computacional utilizado para determinar o caminho de equilíbrio da barra elástica.

```

caminho := D_1 <- ( 0  0  0  0 )T
λ <- 0.0
σ_1 <- 0.0
N_1 <-  $\frac{\sigma_1}{A}$ 
for ic ∈ 1.. ninc
    d_1 <- T · D_1
    u1 <- d_11
    v1 <- d_12
    u2 <- d_13
    v2 <- d_14
    KG0 <-  $\frac{E \cdot A}{L} \cdot T^T \cdot \begin{pmatrix} 1 & 0 & -1 & 0 \\ 0 & 0 & 0 & 0 \\ -1 & 0 & 1 & 0 \\ 0 & 0 & 0 & 0 \end{pmatrix} \cdot T$ 
    KG1 <-  $\frac{E \cdot A}{L^2} \cdot T^T \cdot \begin{bmatrix} 2(u2 - u1) & (v2 - v1) & 2(-u2 + u1) & (-v2 + v1) \\ (v2 - v1) & 0 & (-v2 + v1) & 0 \\ 2(-u2 + u1) & (-v2 + v1) & 2(u2 - u1) & (v2 - v1) \\ (-v2 + v1) & 0 & (v2 - v1) & 0 \end{bmatrix} \cdot T$ 
    KG2 <-  $\frac{E \cdot A}{L^3} \cdot T^T \cdot \begin{bmatrix} (-u2 + u1)^2 & (-u2 + u1)(-v2 + v1) & (-u2 + u1)^2 & (-u2 + u1)(v2 - v1) \\ (-u2 + u1)(-v2 + v1) & (-v2 + v1)^2 & (u2 - u1)(-v2 + v1) & (-v2 + v1)^2 \\ (-u2 + u1)^2 & (u2 - u1)(-v2 + v1) & (-u2 + u1)^2 & (u2 - u1)(v2 - v1) \\ (-u2 + u1)(v2 - v1) & (-v2 + v1)^2 & (u2 - u1)(v2 - v1) & (-v2 + v1)^2 \end{bmatrix} \cdot T$ 
    KGσ <-  $\frac{N_1}{L} \cdot \begin{pmatrix} 1 & 0 & -1 & 0 \\ 0 & 1 & 0 & -1 \\ -1 & 0 & 1 & 0 \\ 0 & -1 & 0 & 1 \end{pmatrix}$ 
    KGT <- KG04,4 + KG14,4 + KG24,4 + KGσ4,4
    Fint_1 <- N_1  $\left[ -1 + \frac{(-u2 + u1)}{L} \quad \frac{-v2 + v1}{L} \quad 1 + \frac{(u2 - u1)}{L} \quad \frac{(v2 - v1)}{L} \right]^T$ 
    FGint_1 <- TT · Fint_1
    fk <- 1.0 if  $\frac{KGT}{1.0} > 0$ 
    fk <- -1.0 if  $\frac{KGT}{1.0} < 0$ 
    λ <- λ + Δλ · fk
    F_2 <- λ · P
    ΔF <- F_2 - FGint_14
    V <-  $\frac{\Delta F}{KGT}$ 
    D <- ( 0  0  0  V )T
    d <- T · D
    B1 <-  $\left( \frac{-1}{L} \ 0 \ \frac{1}{L} \ 0 \right)$ 
    B2 <-  $\left( \frac{-u2 + u1}{L^2} \ \frac{-v2 + v1}{L^2} \ \frac{u2 - u1}{L^2} \ \frac{v2 - v1}{L^2} \right)$ 
    εa <- (B1 + B2) · d
    Δσ <- E · εa1
    σ_1 <- σ_1 + Δσ
    N_1 <-  $\frac{\sigma_1}{A}$ 
    D_1 <- D_1 + D
    carga_deslocamentoic,1 <- λ
    carga_deslocamentoic,2 <- D_14
    carga_deslocamentoic,3 <- σ_1
    carga_deslocamento

```

Figura B.7. – Esquema computacional utilizado para determinar a solução elástica inicial que antecede a resposta viscoelástica.

```

desloc_tempo := | Po <- P.caminho_ninc, 1
                  D_1 <- (0 0 0 caminho_ninc, 2)^T
                  σ_1 <- caminho_ninc, 3
                  N_1 <- σ_1 / A
                  εc1 <- 0.0
                  t <- 0.0
                  for it ∈ 1.. nts
                      t <- t + Δt
                      d_1 <- T · D_1
                      u1 <- d_1_1
                      v1 <- d_1_2
                      u2 <- d_1_3
                      v2 <- d_1_4
                      KG0 <- E · A · T ·  $\begin{pmatrix} 1 & 0 & -1 & 0 \\ 0 & 0 & 0 & 0 \\ -1 & 0 & 1 & 0 \\ 0 & 0 & 0 & 0 \end{pmatrix}$  · T
                      KG1 <-  $\frac{E \cdot A \cdot T}{L^2} \begin{pmatrix} 2 \cdot (u2 - u1) & (v2 - v1) & 2 \cdot (-u2 + u1) & (-v2 + v1) \\ (v2 - v1) & 0 & (-v2 + v1) & 0 \\ 2 \cdot (-u2 + u1) & (-v2 + v1) & 2 \cdot (u2 - u1) & (v2 - v1) \\ (-v2 + v1) & 0 & (v2 - v1) & 0 \end{pmatrix}$  · T
                      KG2 <-  $\frac{E \cdot A \cdot T}{L^3} \begin{pmatrix} (-u2 + u1)^2 & (-u2 + u1) \cdot (-v2 + v1) & -(-u2 + u1)^2 & (-u2 + u1) \cdot (v2 - v1) \\ (-u2 + u1) \cdot (-v2 + v1) & (-v2 + v1)^2 & (u2 - u1) \cdot (-v2 + v1) & -(-v2 + v1)^2 \\ -(-u2 + u1)^2 & (u2 - u1) \cdot (-v2 + v1) & (-u2 + u1)^2 & (u2 - u1) \cdot (v2 - v1) \\ (-u2 + u1) \cdot (v2 - v1) & -(-v2 + v1)^2 & (u2 - u1) \cdot (v2 - v1) & (-v2 + v1)^2 \end{pmatrix}$  · T
                      KGσ <-  $\frac{N_1}{L} \begin{pmatrix} 1 & 0 & -1 & 0 \\ 0 & 1 & 0 & -1 \\ -1 & 0 & 1 & 0 \\ 0 & -1 & 0 & 1 \end{pmatrix}$ 
                      KGT <- KG0_4,4 + KG1_4,4 + KG2_4,4 + KGσ_4,4
                      break if  $\frac{KGT}{1.0} < 0$ 
                      Fint_1 <- N_1  $\begin{bmatrix} -1 + \frac{(-u2 + u1)}{L} & \frac{-v2 + v1}{L} & 1 + \frac{(u2 - u1)}{L} & \frac{(v2 - v1)}{L} \end{bmatrix}$ ^T
                      FGint_1 <- T^T · Fint_1
                      εve <-  $\frac{1}{η1} · σ_1 - \frac{E1}{η1} · εc1$ 
                      F_ve <- E · A · εve  $\begin{bmatrix} -1 + \frac{(-u2 + u1)}{L} & \frac{-v2 + v1}{L} & 1 + \frac{(u2 - u1)}{L} & \frac{(v2 - v1)}{L} \end{bmatrix}$ ^T
                      FG_ve <- T^T · F_ve
                      F_2 <- Po
                      ΔF <- F_2 - FGint_1_4 + FG_ve_4
                      V <-  $\frac{ΔF}{KGT}$ 
                      D <- (0 0 0 V)^T
                      d <- T · D
                      B1 <-  $\left( \begin{array}{cccc} \frac{1}{L} & 0 & \frac{1}{L} & 0 \end{array} \right)$ 
                      B2 <-  $\left( \begin{array}{cccc} \frac{-u2 + u1}{L^2} & \frac{-v2 + v1}{L^2} & \frac{u2 - u1}{L^2} & \frac{v2 - v1}{L^2} \end{array} \right)$ 

```

Figura B.8. – Esquema computacional utilizado na a solução do problema viscoelástico.

```

 $\epsilon_a \leftarrow (B_1 + B_2) \cdot d$ 
 $\epsilon_{ve} \leftarrow \frac{1}{\eta_1} \cdot \sigma_{-1} - \frac{E_1}{\eta_1} \cdot \epsilon_{c1}$ 
 $\Delta\sigma \leftarrow E \cdot (\epsilon_a - \epsilon_{ve})$ 
 $\sigma_{-1} \leftarrow \sigma_{-1} + \Delta\sigma$ 
 $N_{-1} \leftarrow \frac{\sigma_{-1}}{A}$ 
 $\epsilon_{c1} \leftarrow \epsilon_{c1} + \epsilon_{ve}$ 
 $D_{-1} \leftarrow D_{-1} + D$ 
 $deslocamento\_tempo_{it, 1} \leftarrow t$ 
 $deslocamento\_tempo_{it, 2} \leftarrow D_{-1}/4$ 
 $deslocamento\_tempo$ 

```

Figura B.8 – (Continuação)

Os resultados para a barra elástica estão mostrados nas Figs. B.9 a B.12. Dois valores distintos de carga de referência são utilizados: nas Figs. B.9 e B.10, utiliza-se $P = 0.10$, e nas Figs. B.11 e B.12, utiliza-se $P = 0.12$. Esse procedimento serve para comparar os resultados obtidos com e sem a inclusão do vetor de forças internas na equação incremental à medida que o incremento de carga aumenta. As trajetórias das Figs. B.9 e B.11 são obtidas com a inclusão do vetor de forças internas no vetor de forças incrementais, ou seja, $\Delta F = \lambda P - FG_{int_1}$, e as trajetórias das Figs. B.10 e B.12 são obtidas com o vetor de forças incrementais escrito como $\Delta F = \Delta \lambda P$, ou seja, sem a inclusão do vetor de forças internas. A partir desses gráficos é possível observar que a inclusão do vetor de forças internas na equação incremental de equilíbrio produz uma melhora nos resultados numéricos. Essa observação pode ser encontrada no trabalho de Chen & Lin (1982).

Os resultados para a barra viscoelástica estão mostrados nas Figs. B.13 a B.15. Cada curva (deflexão x tempo) equivale a um valor de carga inicial P_o . Com uma carga crítica elástica estimada em $P_E = 9.65$, foram utilizados os valores

$$P_o = 0.48 P_E \text{ (Fig. B.13)}, \quad P_o = 0.50 P_E \text{ (Fig. B.14)} \text{ e } P_o = 0.54 P_E \text{ (Fig. B.15).}$$

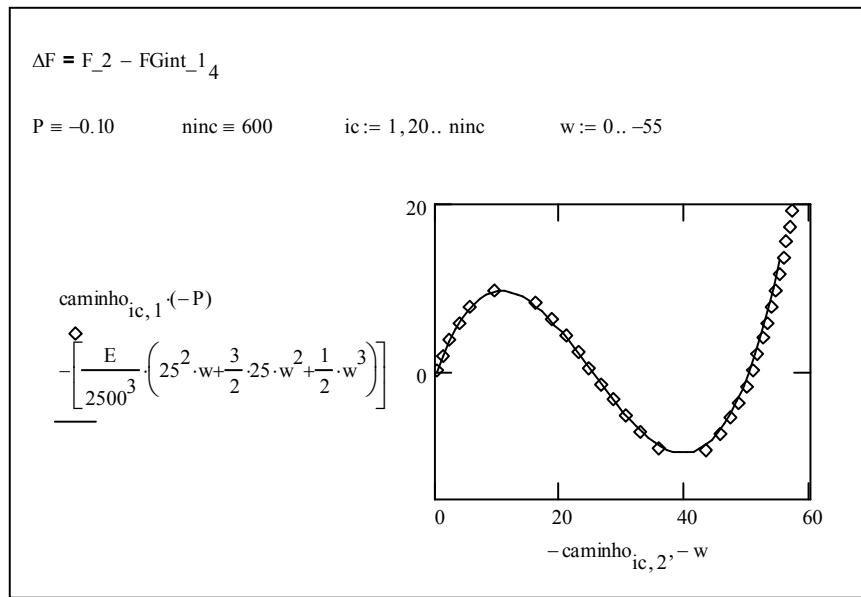


Figura B.9. – Caminho de equilíbrio para uma carga de referência $P = 0.10$ obtido com a inclusão do vetor de forças internas no vetor de forças incrementais.

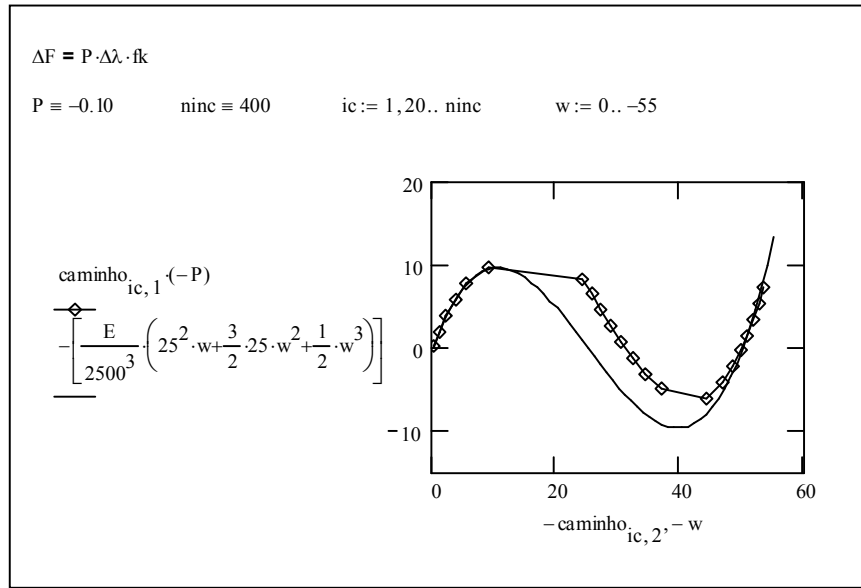


Figura B.10. – Caminho de equilíbrio para uma carga de referência $P = 0.10$ obtido sem a inclusão do vetor de forças internas no vetor de forças incrementais.

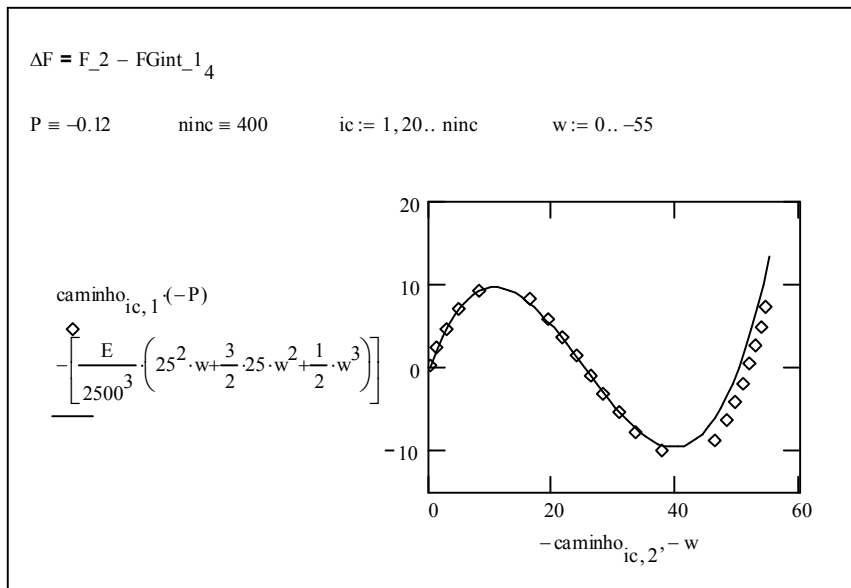


Figura B.11. – Caminho de equilíbrio para uma carga de referência $P = 0.12$ obtido com a inclusão do vetor de forças internas no vetor de forças incrementais.

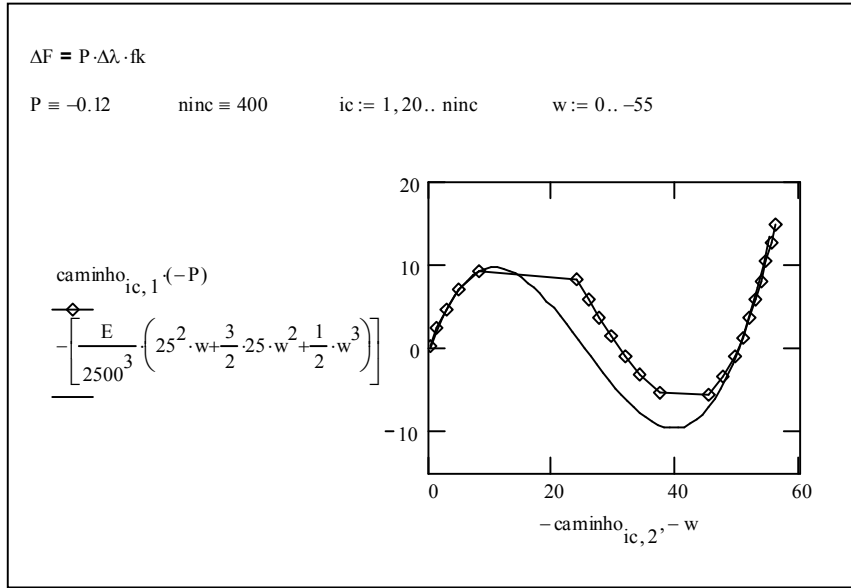
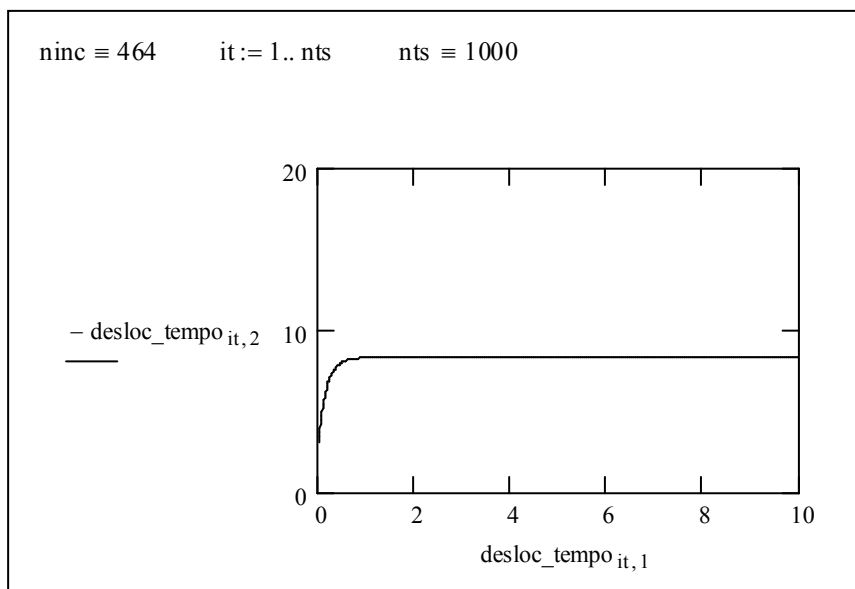
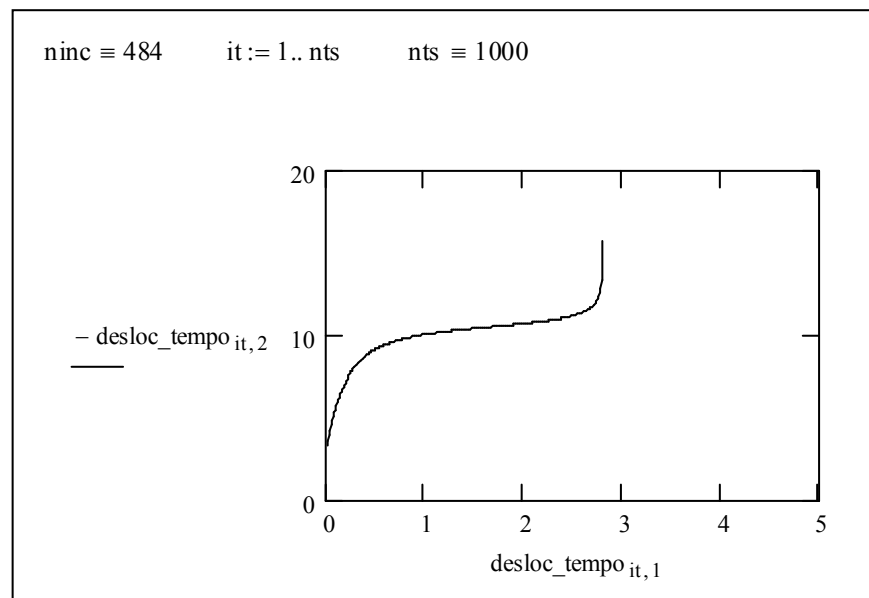


Figura B.12. – Caminho de equilíbrio para uma carga de referência $P = 0.12$ obtido sem a inclusão do vetor de forças internas no vetor de forças incrementais.

Figura B.13 – Resposta viscoelástica: Deslocamento (V) x tempo (t) para $P_o = 0.48 P_E$.Figura B.14 – Resposta viscoelástica: Deslocamento (V) x tempo (t) para $P_o = 0.50 P_E$.

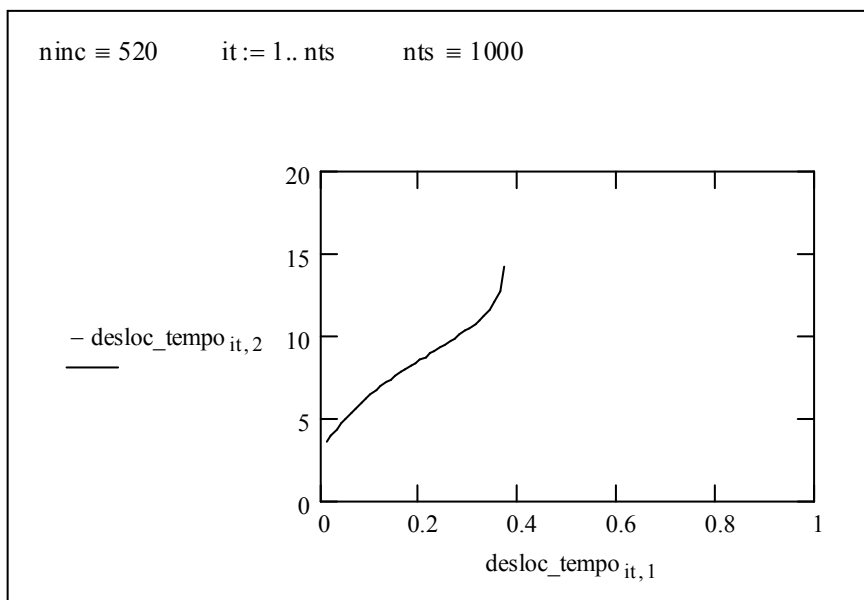


Figura B.15 – Resposta viscoelástica: Deslocamento (V) x tempo (t) para $P_o = 0.54 P_E$.